

## ВЛИЯНИЕ ГОФРИРОВКИ ЭНЕРГЕТИЧЕСКОГО СПЕКТРА НА РАЗМЕРНОЕ КВАНТОВАНИЕ В ПОЛУПРОВОДНИКАХ С ВЫРОЖДЕННОЙ ВАЛЕНТНОЙ ЗОНОЙ

Герчиков Л. Г., Субашиев А. В.

Аналитически исследовано влияние гофрировки валентной зоны на спектр подзон размерного квантования пленок бесщелевых полупроводников и полупроводников с вырожденной валентной зоной. Показано, что экстремумы подзон размерного квантования тяжелых дырок могут быть смещены из точки  $k=0$ . Кроме того, при больших значениях импульса происходят осцилляции расстояний между ближайшими подзонами тяжелых дырок разной четности, а их средняя масса определяется положением экстремумов объемного спектра тяжелых дырок при фиксированном значении импульса движения вдоль пленки.

*Введение.* Размерное квантование в пленках полупроводников с вырожденными зонами изучалось в целом ряде работ (см., например, [1-7]), в том числе и с учетом гофрировки спектра [1, 3, 5], однако в последнем случае спектр был получен в результате численных расчетов, что затрудняет анализ качественного поведения спектра в зависимости от параметров материала.

В настоящей работе аналитически исследовано влияние гофрировки на спектр размерного квантования электронов и дырок в бесщелевом полупроводнике, легких и тяжелых дырок в полупроводнике с вырожденной валентной зоной при малом, но конечном отношении масс легких ( $m_l$ ) и тяжелых ( $m_h$ ) носителей,  $\beta = m_l/m_h \ll 1$ . Показано, что при не слишком малой анизотропии объемного спектра подзоны размерного квантования тяжелых дырок имеют характерные особенности, происхождение которых можно пояснить следующим образом. Энергетический спектр в области малых энергий легких и тяжелых носителей в неограниченном кристалле имеет вид [8]

$$\epsilon = \frac{\hbar^2}{2m_0} (\gamma_1 k^2 \pm 2\sqrt{\gamma_2^2 k^4 + 3(\gamma_3^2 - \gamma_2^2)(k_x^2 k_y^2 + k_x^2 k_z^2 + k_y^2 k_z^2)}). \quad (1)$$

Здесь  $\gamma_1, \gamma_2, \gamma_3$  — константы Латтинжера, основной вклад в которые дает взаимодействие с ближайшей  $s$ -зоной. Поэтому константы  $\gamma_1, \gamma_2, \gamma_3$  обычно одного порядка. Масса тяжелых дырок значительно превосходит массу легких дырок, когда выполняется неравенство  $m_h^{-1} \approx \gamma_1 - 2\gamma_2 \ll \gamma_1 + 2\gamma_2 \approx m_l^{-1}$  ( $m_h, m_l$  — массы носителей в единицах массы свободного электрона). При этом, согласно (1), анизотропия спектра тяжелых дырок определяется параметром  $\delta = 3(\gamma_3 - \gamma_2)/(\gamma_1 - 2\gamma_2)$ . Величина  $\delta$  для большинства полупроводниковых материалов близка к единице; соответственно гофрировка спектра легких частиц незначительна ( $\sim \beta$ ).

Существенно, что уже при  $\delta > 1/2$  гофрировка спектра тяжелых дырок столь велика, что при фиксированном и отличном от нуля значении компоненты импульса дырок вдоль оси четвертого порядка, например [100], зависимость энергии от импульса в плоскости, перпендикулярной оси [100], становится немонотонной. Другими словами, при фиксированном значении  $k_x$  масса тяжелых дырок, связанная с их движением в плоскости ( $yz$ ), положительна. Эта немонотонность проявляется в спектре подзон размерного квантования дырок в пленке, ориентированной перпендикулярно оси [100], в которой значе-

ние нормальной компоненты импульса дырок  $k_{\perp} = k_x$  оказывается в известном смысле фиксированным условием квантования.

Далее, вследствие гофрировки спектра при больших значениях импульса движения вдоль пленки  $k_{\parallel}$  в области  $k_{\min} < k_{\parallel} < k_{\max}$  (рис. 1) заданным значениям  $\epsilon$  и  $k_{\parallel}$  соответствуют четыре состояния тяжелых дырок  $k_{\perp} = \pm k_1, \pm k_2$ . Интерференция этих состояний определяет асимптотическое поведение подзон размерного квантования при больших  $k_{\parallel} \gg \pi/a$ , где  $a$  — толщина пленки. В частности, основному состоянию тяжелых дырок соответствует суперпозиция состояний с близкими значениями  $k_1, k_2 \sim k_{\parallel}$ , обеспечивающая минимальную энергию при заданном  $k_{\parallel}$ . При этом тяжелая дырка движется под определенным углом к оси [100], так как  $k_{\perp}/k_{\parallel} \sim 1$  (в изотропном случае или при ориентации пленки перпендикулярно оси [111] в области  $k_{\parallel} > \pi/a$  основному состоянию и минимуму энергии соответствует движение дырки вдоль пленки с  $k_{\parallel} \gg k_{\perp}$ ). Интерференция состояний с  $k_{\perp} = k_1, k_2$  приводит также к сильным осцилляциям расстояний между ближайшими подзонами размерного квантования разной четности.

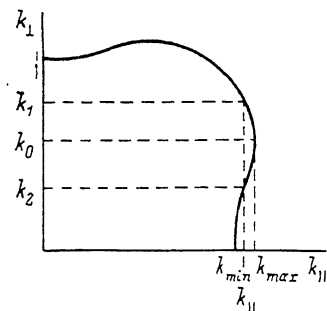


Рис. 1. Изоэнергетическая поверхность тяжелых дырок для параметра анизотропии  $\delta=0.8$ .

Оси  $k_{\perp}$  и  $k_{\parallel}$  совпадают с кристаллическими осями четвертого порядка.

## Уравнение размерного квантования

Имея в виду исследование эффектов, связанных с гофрировкой, мы ограничимся в основном рассмотрением модели бесконечно глубокой потенциальной ямы, для которой граничные условия сводятся к обращению в нуль волновой функции на гетерогранице [1-3].

Учтем, что вследствие пространственной симметрии относительно середины ямы и симметрии относительно обращения времени уровни размерного квантования двукратно вырождены, а соответствующие им состояния квантуются независимо. В низшем приближении по  $\beta$  эти вырожденные состояния отличаются друг от друга знаком проекции момента на ось квантования, перпендикулярную плоскости движения частицы, так же как и в изотропном случае [6, 7]. Поэтому далее мы рассмотрим квантование одной группы состояний.

Волновую функцию  $\psi(\epsilon, k_{\perp})$  состояния с определенными значениями  $\epsilon, k_{\perp}$  можно представить в виде суперпозиции четырех волн, соответствующих разным значениям нормальной компоненты  $k_{\perp} = \pm k_1, \pm k_2$ , которые определяются по заданным  $\epsilon$  и  $k_{\parallel}$  через закон дисперсии (1). Амплитудные коэффициенты в суперпозиции находятся из граничных условий  $\psi(0) = \psi(a) = 0$ . Удобно ввести матрицу коэффициентов отражения носителей от границы ямы  $S_{\nu\nu}(\epsilon, k_{\parallel})$ , связывающую амплитудные коэффициенты волн, падающих на правую границу с импульсами  $k_{\nu}$  ( $\nu=1, 2$ ), с амплитудными коэффициентами отраженных волн с импульсами  $k_{\nu}$  ( $\nu=1, 2$ ). Нondiagonalные элементы матрицы  $S$  описывают процессы взаимных переходов между состояниями с импульсами  $k_1$  и  $k_2$  при отражении от границы ямы. В области малых  $k_{\parallel}$  этим переходам соответствуют взаимные превращения тяжелых и легких носителей, поэтому в дальнейшем будем говорить о носителях «сортов» 1 и 2. Явный вид матрицы  $S$  находится из граничных условий с использованием выражений для собственных функций гамильтониана Латтинжера, приведенных, например, в [8]. Однако общее выражение для  $S_{\nu\nu}(\epsilon, k_{\parallel})$  оказывается достаточно громоздким, поэтому далее мы выйдем в явном виде матрицу  $S$  в наиболее важном для нас частном случае.

Использование матрицы  $S$  позволяет записать уравнение размерного квантования в виде [6, 7]

$$1 - \cos k_1 a \cos k_2 a = \left( \frac{2S_{11}S_{22} - S_{21}S_{12}}{S_{12}S_{21}} \right) \sin k_1 a \sin k_2 a. \quad (2)$$

В (2) учтено, что матрица отражения от левой границы с  $\tilde{S}$  связана с матрицей  $S$  соотношением  $\tilde{S}(\epsilon, k_{\parallel}) = S(\epsilon, -k_{\parallel})$ , а также то, что для бесконечно глубокой ямы  $\tilde{S}(\epsilon, k_{\parallel}) = S^{-1}(\epsilon, k_{\parallel})$ . Каждому решению уравнения квантования (2) соответствует такая суперпозиция волн с импульсами  $k_1$  и  $k_2$ , что при прохождении пленки слева направо и справа налево с отражением от границ она умножается на множитель  $\exp(2\pi ni)$ , где  $n=1, 2, 3, \dots$ .

### Анализ спектра размерного квантования

*Область малых импульсов движения вдоль пленки.* Рассмотрим для определенности пленку, ориентированную перпендикулярно оси [100]. Прежде всего отметим, что при  $k_{\parallel}=0$ , т. е. при нормальном падении на границу, процессы трансформации отсутствуют,  $S_{12}=S_{21}=0$ , так что квантование носителей сорта 1 и 2 происходит независимо. Уравнение квантования (2) в этом случае дает  $k_{1,2} a = 2\pi n$ ,  $n=1, 2, \dots$ , где одно из значений ( $k_{\perp} = k_1 = \sqrt{2m_i \epsilon / \hbar}$ ) соответствует

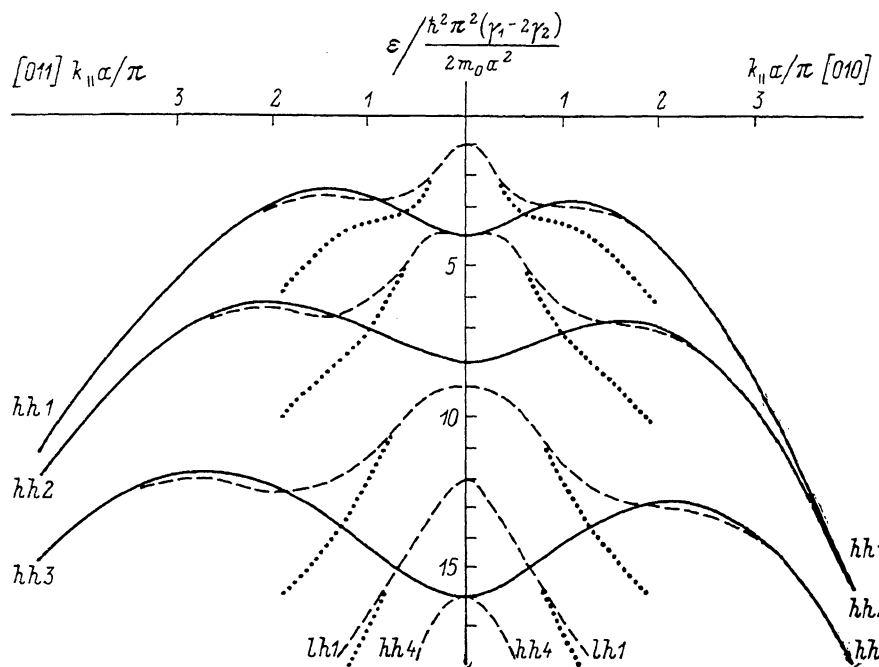


Рис. 2. Спектр подзон размерного квантования тяжелых дырок в [100] пленке полупроводника с вырожденной валентной зоной, рассчитанный по уравнению (5) для  $\delta=0.82$  (сплошная линия).

Штриховой линией показан спектр с учетом взаимодействия с легкими дырками. Значения параметров  $\delta=0.82$ ,  $\beta=5 \cdot 10^{-2}$  соответствуют InSb. Точками показаны результаты расчета спектра в изотропной модели.

тяжелым, а другое ( $k_2 = \sqrt{2m_l \epsilon / \hbar}$ ) — легким носителям, причем массу тяжелых дырок следует определять вдоль направления нормали к пленке. Вывод об отсутствии процессов трансформации носителей при  $k_{\parallel}$  справедлив и при произвольной ориентации пленки, поскольку при нормальном отражении от гетерограницы изменяются знаки всех проекций импульса на кристаллические оси, что оставляет спиновую часть волновой функции [8] неизменной. Поэтому и условия квантования  $k_{1,2} a = 2\pi n$  также остаются в силе. Однако, вследствие анизотропии спектра тяжелых дырок энергии центров подзон размерного квантования  $\epsilon_{hhn}(k_{\parallel}=0)$  сильно зависят от ориентации пленки относительно кристаллических осей.

Рассмотрим теперь весьма узкую область (I) малых значений продольной компоненты импульса  $k_{\parallel} \leq \sqrt{2m_l \epsilon / \hbar}$ . В этой области волна с  $k_2 \sim \sqrt{2m_l \epsilon / \hbar}$  по-прежнему соответствует легким носителям, имеющим подзоны размерного

квантования с сильной дисперсией. С другой стороны, нормальная компонента импульса тяжелых дырок в области I  $k_{\perp} = k_1 \approx \sqrt{2m_i \varepsilon} / \hbar$  оказывается существенно больше  $k_{\parallel}$ , т. е. тяжелые дырки движутся практически по нормали к пленке, что затрудняет их превращение в легкие частицы при отражении от границ  $S_{21} \sim \sqrt{\beta} \ll 1$ . Это обстоятельство позволяет разделить все ветви энергетического спектра на подзоны легких носителей и подзоны тяжелых дырок. Кроме того, в рассматриваемой области волновые функции и соответственно элементы матрицы отражения, записанные через  $k_1$ ,  $k_2$  и  $k_{\parallel}$ , с точностью до малых поправок по  $\beta$  совпадают с аналогичными выражениями для изотропного случая [7]. В результате и уравнение размерного квантования (2), описывающее взаимодействие подзон легких и тяжелых носителей, в области I совпадает с дисперсионным уравнением изотропной модели, исследованным достаточно подробно в работах [2, 7].

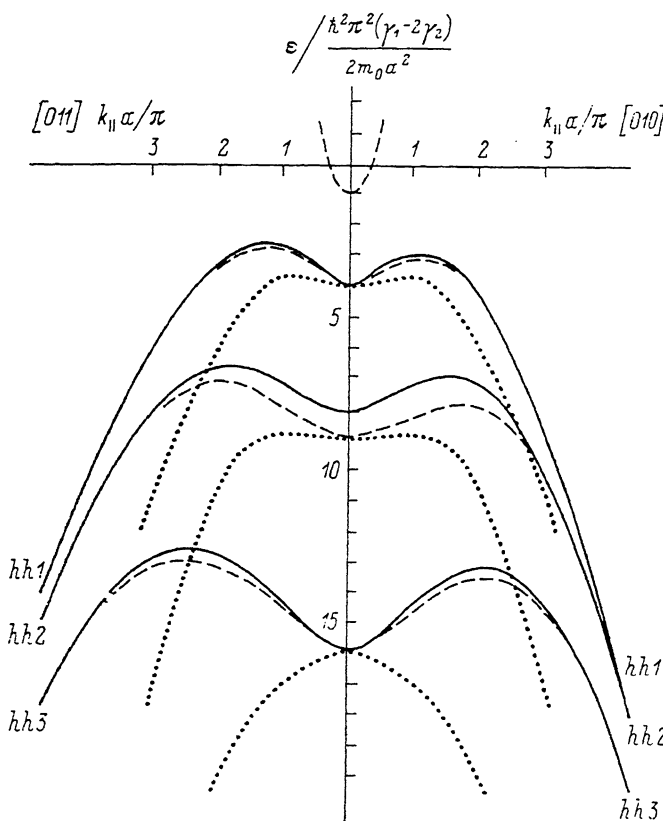


Рис. 3. Спектр подзон размерного квантования тяжелых дырок в [100] пленке бесщелевого полупроводника, рассчитанный по уравнению (5) для  $\delta = 0.75$  (сплошная линия).

Штриховой линией показан спектр с учетом взаимодействия с электронными состояниями. Значения параметров  $\delta = 0.75, \beta = 0.1$  соответствуют HgTe. Точками показаны результаты расчета спектра в изотропной модели.

В [2, 7] установлено, что на спектр первых нечетных подзон размерного квантования тяжелых дырок существенное влияние оказывает специфическое пограничное состояние, выходящее (в полубесконечном кристалле) из потолка валентной зоны и имеющее массу  $m = 4/3 m_i$ . В результате взаимодействия первая и ряд нечетных подзон тяжелых дырок приобретают легкую массу  $m_{hh1} \sim m_i$  (рис. 2, 3).

В случае пленки полупроводника с вырожденной валентной зоной спектр первых уровней размерного квантования в области I формируется в результате квазипересечений пограничного состояния типа легкой дырки с подзонами тяжелых дырок (рис. 2). В случае бесщелевого полупроводника первая подзона тяжелых дырок приобретает электронный характер, а нижележащие нечетные

подзоны тяжелых дырок в результате взаимодействия с граничным состоянием — положительную добавку к закону дисперсии (рис. 3).

Учет гофрировки объемного спектра в области I дает дополнительный вклад в дисперсию подзон, зависящий от ориентации пленки. В случае пленки, перпендикулярной оси [100], этот вклад оказывается положительным. Это объясняется тем обстоятельством, что при  $\delta > 1/2$  энергия тяжелых дырок при фиксированном значении  $k_{\perp}$  растет с увеличением  $k_{\parallel}$ . Приведенная качественная картина подтверждается аналитическим выражением для масс подзон размерного квантования при  $k_{\parallel} = 0$ , полученном в [1, 3]. Однако оно относится лишь к области  $k_{\parallel} \leq \sqrt{m_j \epsilon} / \hbar$ , в то время как характерный масштаб, определяющий изменение подзон  $\epsilon_{hhn}(k_{\parallel})$ , связан с величиной  $k_{\parallel} \sim \sqrt{m_h \epsilon} / \hbar$ .

### С п е к т р п о д з о н т я ж е л ы х д ы р о к в о б л а с т и б о л ь ш и х и м п у л ь с о в д в и ж е н и я в д о л ь п л е н к и

В этой области (II), когда тяжелая дырка движется под произвольным углом к нормали пленки, гофрировка спектра сказывается более существенным образом. Действительно, прежде всего из дисперсионного соотношения (1) следует, что при большой величине  $k_{\parallel} \sim \sqrt{m_j \epsilon} / \hbar$  оба значения нормальной компоненты  $k_1$  и  $k_2$  оказываются порядка  $\sqrt{m_h \epsilon} / \hbar$ , т. е. носители обоих сортов являются тяжелыми дырками. При этом и волновые функции частиц сорта 1 и 2 с точностью до членов  $\sim \beta$  имеют вид волновой функции тяжелых дырок:

$$\psi_{1,2} = \begin{pmatrix} \sqrt{3} (k_{1,2} + ik_{\parallel}) \\ -(k_{1,2} - ik_{\parallel}) \end{pmatrix} e^{i(k_{1,2} + k_{\parallel})r}. \quad (3)$$

В рассматриваемой области, относящейся к подзонам тяжелых дырок, в нулевом приближении по  $\beta$  можно считать  $m_l = 0$ . Соответственно в области II спектр подзон тяжелых дырок в бесщелевом полупроводнике и в полупроводнике с вырожденной валентной зоной оказывается одинаковым.

Пользуясь функциями (3), легко найти элементы матрицы отражения S в области II:

$$S_{11} = -S_{22} = \frac{k_1 + k_2}{k_1 - k_2}, \quad S_{12} = -\frac{k_2}{k_1}, \quad S_{21} = \frac{2k_2}{k_1 - k_2}. \quad (4)$$

Подстановка этих выражений в уравнение размерного квантования (2) приводит его к виду

$$\operatorname{tg} \frac{k_1 a}{2} = \left( \frac{k_1}{k_2} \right)^{(-1)^n} \operatorname{tg} \frac{k_2 a}{2}, \quad (5)$$

где знак показателя степени зависит от четности номера уровня. В частности, для первого уровня тяжелых дырок  $hh1$  он отрицателен.

Из (4) следует, что в области II при увеличении  $k_{\parallel}$  компонента  $k_2$  сначала принимает чисто мнимые значения, увеличиваясь по абсолютной величине, а затем уменьшается до нуля, после чего при  $k_{\parallel} \geq \sqrt{2m_h \epsilon} / \hbar$  становится чисто вещественной. При этом, согласно (5), величина  $k_1$  сначала несколько уменьшается, а затем (вблизи значений  $k_{\parallel} \sim n\pi/a$ ) растет. Поэтому энергия подзон размерного квантования тяжелых дырок как функция  $k_{\parallel}$  имеет максимум при  $k_{\parallel} \sim n\pi/a$ , отражающий свойства объемного гофрированного спектра (рис. 2, 3). Далее, в области, где обе величины  $k_1$  и  $k_2$  оказываются чисто вещественными, характер решений уравнения (3) существенно меняется. Из (3) следует, что, когда величина  $k_2$ , увеличиваясь с ростом  $k_{\parallel}$ , достигает значения  $\pi/a$ , величина  $k_1$  должна иметь значение, равное  $k_1 = (2m+1)\pi/a$ , где  $m=1, 2, 3, \dots$ . Это же относится и к другим значениям  $k_1$  и  $k_2$ , кратным  $\pi/a$ , обращающим правую и левую части (5) в нуль либо в бесконечность. Существенно, что такая пара  $k_1$  и  $k_2$  удовлетворяет уравнению (5) для обоих знаков показателя степени, связанного с четностью уровней. Поэтому при соответствующем значении  $k_{\parallel}$  энергии двух соседних уровней разной четности совпадают.

Из сказанного следует, что при дальнейшем увеличении  $k_{\parallel}$  импульсы  $k_1$  и  $k_2$ , монотонно увеличиваясь, принимают одновременно значения, кратные величине  $\pi/a$ . Этим точкам соответствуют пересечения соседних уровней. Величины  $k_1$  и  $k_2$  с ростом  $k_{\parallel}$  неограниченно растут, тогда как разность  $k_1 - k_2 = q$  остается примерно постоянной ( $q \approx 2\pi n/a$ ). Таким образом, при больших продольных импульсах  $k_{\parallel} a \gg 1$  волновые векторы дырок обоих сортов стремятся к точке  $k_1 = k_2 = k_0$  ( $k_{\parallel}$ ) на изоэнергетической поверхности  $\varepsilon(k_{\perp}, k_{\parallel}) = \text{const}$ , определяемой ее касанием с прямой  $k_{\parallel} = \text{const}$  (рис. 1). При этом движение дырок происходит под определенным углом к нормали пленки (рис. 1). Для сравнения отметим, что при ориентации пленки перпендикулярно оси [111] или при слабой гофрировке ( $\delta < 1/2$ ) дырки с большими  $k_{\parallel}$  двигаются вдоль пленки, так как  $k_{\parallel} \gg k_{\perp} \sim \pi/a$ . Нетрудно показать, что направление движения дырок соответствует минимуму их энергии при фиксированном значении  $k_{\parallel}$ .

Для решения уравнения (5) в области больших  $k_{\parallel}$  заметим, что при  $k_{\parallel} a \gg 1$  и  $k_1 \sim k_2 \gg k_1 - k_2 = q$  оно приводится к виду

$$\sin \frac{qa}{2} = (-1)^n \frac{q}{2k_0} \sin k_0 a, \quad (6)$$

где  $k_0 = k_{\parallel} \left( \sqrt{\delta \left( 2 - \frac{\sin^2 2\varphi}{2} \right) - 1} \right)^{1/2}$ ,  $\varphi$  — угол в плоскости пленки между направлением  $k_{\parallel}$  и кристаллической осью четвертого порядка.

Учтем, что вблизи экстремума  $\varepsilon(k_0, k_{\parallel})$  энергия тяжелых дырок может быть записана в виде

$$\varepsilon(k_{\perp}, k_{\parallel}) = \varepsilon(k_0, k_{\parallel}) + \frac{\hbar^2 (q/2)^2}{2m_0 m^{**}}, \quad (7)$$

где

$$\varepsilon(k_0, k_{\parallel}) = \frac{\hbar^2 k_{\parallel}^2}{2m_0 m^*}, \quad q = 2(k_{\perp} - k_0), \quad m^{*-1} = 2(\gamma_1 - 2\gamma_2) \left( \sqrt{\delta \left( 2 - \frac{\sin^2 2\varphi}{2} \right) - \delta} \right), \\ m^{**^{-1}} = 4(\gamma_1 - 2\gamma_2) \left( 1 - \frac{1}{\sqrt{\delta \left( 2 - \frac{\sin^2 2\varphi}{2} \right)}} \right).$$

Уравнение (6) можно решать последовательными приближениями. С точностью до малых поправок по  $q/k_0$  условие квантования имеет вид  $q = n_r \pi/a$ , где  $n_r = 1, 2, 3, \dots$ . С учетом членов  $\sim 1/k_0 a$  асимптотическое поведение подзон размерного квантования определяется формулой

$$\varepsilon = \frac{\hbar^2 k_{\parallel}^2}{2m_0 m^*} + \frac{\hbar^2 (n_r \pi)^2}{2m_0 m^{**} a^2} \left( 1 + (-1)^{n+n_r} \frac{2 \sin k_0 a}{k_0 a} \right). \quad (8)$$

Полученное выражение описывает поведение подзон тяжелых дырок при больших  $\varepsilon$ , когда эффективная масса подзон оказывается связанной с положением экстремума  $\varepsilon(k_0, k_{\parallel})$ . Второе слагаемое в круглых скобках в (8) описывает переплетение ближайших уровней разной четности, номера которых связаны с  $n_r$  соотношением  $n_r = n - 1/2 [1 + (-1)^n]$ .

Отметим, что в области  $k_{\parallel} a \gg 1$  волновая функция представляет собой суперпозицию быстро осциллирующих волн с близкими волновыми векторами, т. е. имеет вид осциллирующей функции, промодулированной плавной огибающей, обращаемой в нуль на границах ямы,

$$\psi = C \varphi(k_0, k_{\parallel}) \sin \frac{qx}{2}, \quad (9)$$

где  $\varphi(k_0, k_{\parallel})$  — суперпозиция волн тяжелых дырок с импульсами  $\mathbf{k} = k_{\parallel} \pm k_0$ .

Результаты (8), (9) могут быть получены и несколько иным способом, если заметить, что решаемая задача при фиксированном  $k_{\parallel}$  сводится к квантованию частиц со спектром  $\varepsilon(k_{\perp}, k_{\parallel})$ , имеющим два экстремума при  $k_{\perp} = \pm k_0$ . При больших  $k_0 \sim k_{\parallel} \gg 1/a$  вблизи каждого из экстремумов можно использовать метод эффективной массы, что позволяет получить систему уровней (8), причем меж-

долинные переходы, снимающие двукратное вырождение, вызывают малое осциллирующее расщепление уровней  $\sim (k_0 a)^{-1} \ll 1$ .

Следует подчеркнуть, что возникновение «переплетения» уровней разной четности вследствие гофрировки спектра должно происходить независимо от величины отношения масс легких и тяжелых дырок  $\beta$ . Это можно видеть из исходного уравнения (2), в котором величины  $k_1$  и  $k_2$  оказываются кратными  $\pi/a$  одновременно. При конечной глубине потенциальной ямы точные пересечения соседних уровней при  $k_0 (k_{\parallel}) a = n\pi$  сменяются на квазипересечения. Оценка дополнительных слагаемых, возникающих в уравнении (2) при учете проникновения частиц под барьер, показывает, что при малых энергиях дырок они оказываются порядка  $\sim \sqrt{\varepsilon/\Lambda}$ , где  $\Lambda$  — глубина ямы. Такого же порядка оказываются и расстояния между уровнями вблизи точек их пересечения.

### Обсуждение результатов

Проведенный качественный анализ спектра подзон размерного квантования, использующий малость отношения масс носителей  $\beta \ll 1$ , объясняет общее поведение спектра и ряд характерных особенностей, обнаруженных ранее в численных расчетах [3, 5, 10]. Для [100] пленок бесщелевых полупроводников (HgTe, Sn) удастся объяснить смещение экстремумов подзон тяжелых дырок, утяжеление дырок при больших импульсах движения вдоль пленки, сгущение уровней и осцилляции расстояний между ними (рис. 3). Эти качественные эффекты хорошо описываются упрощенным дисперсионным уравнением (5). Отметим, что асимптотическая формула (8) для спектра подзон в области их переплетения оказывается достаточно точной при  $k_{\parallel} > 10 \pi/a$ .

Для [100] пленок полупроводников с вырожденной валентной зоной гофрировка объемного спектра наиболее существенным образом проявляется в сгущении уровней и утяжелении тяжелых дырок при больших  $k_{\parallel}$ . Как показывает численный расчет, область малых  $k_{\parallel} \leq \sqrt{m_l \varepsilon/\hbar}$ , в которой существенно влияние легких дырок на спектр размерного квантования, при реальных значениях параметра оказывается достаточно широкой ( $\sim \pi/a$ ), поэтому уравнение (5) описывает лишь асимптотическое поведение подзон тяжелых дырок при  $k_{\parallel} \geq 2\pi/a$ .

Особенности энергетического спектра, связанные с гофрировкой, например появление резких пиков в плотности состояний вследствие немонотонного поведения дырочных подзон [10], могут приводить к специфическим оптическим и кинетическим явлениям [9].

Авторы благодарны Д. Г. Полякову за стимулирующее обсуждение.

### Список литературы

- [1] Недорезов С. С. // ФТТ. 1970. Т. 12. В. 8. С. 2269—2275.
- [2] Дьяконов М. И., Хаецкий А. В. // ЖЭТФ. 1982. Т. 82. В. 5. С. 1584—1590.
- [3] Shvartsman L. D. // Sol. St. Commun. 1983. V. 46. N 11. P. 787—790.
- [4] Горбовицкий Б. М. // ФТП. 1987. Т. 21. В. 5. С. 830—835.
- [5] Martijn de Sterke. // Phys. Rev. B. 1986. V. 36. N 12. P. 6574—6580.
- [6] Герчиков Л. Г., Субашиев А. В. // ФТП. 1989. Т. 23. В. 12. С. 2210—2213.
- [7] Gerchikov L. G., Subashiev A. V. // Phys. St. Sol. (b). 1990. V. 160. N 1. P. 443—457.
- [8] Бир Г. Л., Пикус Г. Е. Симметрия и деформационные эффекты в полупроводниках. М., 1972. 584 с.
- [9] Чаплик А. В., Шварцман Л. Д. // Поверхность. 1982. № 2. С. 73—78.
- [10] Marques G. E., Chitta V. N. // J. Phys. C. 1987. V. 20. N 28. P. 727.

Ленинградский государственный  
технический университет

Получена 23.07.1990  
Принята к печати 27.09.1990

<sup>1</sup> Применимость метода типа приближения эффективной массы для изучения асимптотики спектров размерного квантования не ограничивается случаем бесконечно глубокой потенциальной ямы, а относится и к произвольному потенциалу  $U(x)$ , когда  $k_1 a \gg 1$ , где  $a$  — характерный размер потенциала.